

Рис. 3. Схематическая карта скоростей СВДЗП, осредненных по площадкам $2 \times 2^{\circ}$:
 1 — изолинии отрицательных скоростей, мм/год; 2 — изолинии положительных скоростей, мм/год.

ным. На настоящем этапе исследований можно сделать только общий вывод о том, что меньший порядок осреднения исходной информации о скоростях СВДЗП приводит к большей детализации структур менее глубокого заложения, скорости вертикальных движений которых представляют уже сумму многих процессов, происходящих на разных глубинах и имеющих разное по времени начало.

Главный вывод выполненных исследований состоит в том, что изменение статистической структуры поля СВДЗП в зависимости от степени сглаживания является индикатором масштабности простирания и глубины заложения геоморфоструктур, ответственных за современные движения земной поверхности.

Список литературы: 1. Артемьев М. Е. Изостатические аномалии слайджности и некоторые вопросы их геологического истолкования. — М.: Наука, 1966. — 137 с. 2. Белоусов В. Б. Основы геотектоники. — М.: Недра, 1975. — 247 с. 3. Бондарчук В. Г. Тектоника Карпат. — К.: Изд-во АН УССР, 1962. — 233 с. 4. Борисов А. А. Глубинная структура территории СССР по геофизическим данным. — М.: Недра, 1967. — 301 с. 5. Вентцель Е. С. Теория вероятностей. — М.: Наука, 1972. — 576 с. 6. Голицына Г. Я. Об изостатическом районировании земной коры Украинского щита. — Изв. АН СССР. Физика Земли, 1972, № 10, с. 44—55. 7. Мещеряков Ю. А. Рельеф и современная геодинамика. — М.: Наука, 1981. — 277 с. 8. Карта скоростей современных движений земной коры Восточной Европы. — В кн.: Современные движения земной коры. Тарту, 1973, № 5, с. 18—25. 9. Чекунов А. В. Структура земной коры и тектоника юга Европейской части СССР. — К.: Наук. думка, 1972. — 176 с.

Статья поступила в редакцию 30.12.84

УДК 551.24:528.2/3

В. В. КИРИЧУК, А. А. ТАДЕЕВ

ОБ ОДНОЙ МЕТОДИКЕ ОПРЕДЕЛЕНИЯ ХАРАКТЕРИСТИК ДЕФОРМАЦИИ ЗЕМНОЙ КОРЫ ПО ГЕОДЕЗИЧЕСКИМ ДАННЫМ

Определение инвариантных характеристик деформации земной коры осуществляется в настоящее время на основе гипотезы купочно-однородного деформирования изучаемой области [1, 4], при этом остается открытый вопрос выделения внутри этой области однородно-деформированных регионов. Поэтому целесообразно предварительно выделить внутри ее регионы с однородным характером деформаций, а затем уже вычислить деформации в пределах каждого региона. Поставленную задачу решают обычно путем привлечения геолого-геоморфологической и тектонической информации. Однако такой подход ввиду неоднозначности этой информации субъективен, обеспечивает лишь качественные характеристики регионов и не дает возможности четко устанавливать их границы. Вероятностно-статистические методы, основанные на представлении поля смешений точек земной поверхности как реализации некоторого случайного процесса, позволяют в определенной степени избежать указанных недостатков.

Обоснование и обшире положения разработанной на такой основе методики вычисления инвариантов деформаций изложены в [3]. В соответствии с ней рассмотрим область, содержащую N пунктов, для каждого из которых определены компоненты горизонтального смещения по осям x и y . Таким образом, мы имеем дело с разложением случайного процесса, реализуемого на плоскости в виде векторного случайного поля, на две компоненты — два скалярных случайных полей [3]. Такое представление позволяет избежать сложностей формально-математического характера, возникающих при статистическом анализе векторных случайных полей. Методика анализа на стационарность по дисперсии каждого из составляющих полей (смещений Δx и смещений Δy) следующая [2]:

вычисление поля дисперсий $(\Delta x)^2$ и $(\Delta y)^2$ с помощью алгоритма скользящей дисперсии. В обработку принимаются пункты, попадающие в окрестность скольжения, ограниченную радиусом скольжения R_0 . Следует отметить, что R_0 необходимо задавать, исходя из степени обеспеченности территории пунктами (густоты пунктов) и детальности исследования данной области;

выделение внутри области регионов, стационарных по дисперсиям $(\Delta x)^2$ и $(\Delta y)^2$, при помощи критерия Фишера*.

Выделенные регионы можно с достаточным основанием считать регионами с локально-однородным характером деформирования и, следовательно, все пункты, заключенные в том или ином регионе, обрабатывать совместно.

Определение характеристик деформации (дилатации, максимального и минимального растяжения, свдвига, поворота участков) осуществляется по общизвестным формулам (см., например, [1, 3, 4]) посредством вычисления компонент e_{ij} тензора деформаций. Поскольку смещения являются линейными функциями координат [1, 3], то для каждого отдельного пункта k будут иметь место соотношения

$$\Delta x_k = e_{11}x_k + e_{12}y_k + a, \quad \Delta y_k = e_{21}x_k + e_{22}y_k + b, \quad (1)$$

из которых определяются искомые компоненты e_{ij} тензора деформации (здесь Δx_k и Δy_k — составляющие деформаций вдоль осей x и y соответственно; x_k и y_k — плоские прямоугольные координаты пункта k ; a и b — свободные члены).

В нашем случае каждый из стационарных регионов содержит n пунктов. При $n \geq 3$ система (1) будет переопределенной, значит компоненты e_{ij} следует находить при условии

$$\sum_{k=1}^n \{[\Delta x_k - (e_{11}x_k + e_{12}y_k + a)]^2 + [\Delta y_k - (e_{21}x_k + e_{22}y_k + b)]^2\} = \text{min}. \quad (2)$$

* Количество таких стационарных регионов, соответствующее каждому из составляющих реализации векторного поля смещений, может различаться, что следует из природы самого изучаемого явления.

Это условие приводит от уравнений (1) к нормальным уравнениям [3]

$$A^T \cdot A \cdot E = A^T \cdot L = 0, \quad (3)$$

где A — матрица известных коэффициентов уравнений (1) размером $2n \times 6$; E — матрица искомых компонент e_{ij} тензора деформаций размером 6×1 ; L — матрица свободных членов размером $2n \times 1$.

После простых преобразований (3) получим систему уравнений вида

$$\begin{aligned} e_{11} \sum_{i=1}^n x_i^2 + e_{12} \sum_{i=1}^n x_i y_i + a \sum_{i=1}^n x_i - \sum_{i=1}^n \Delta x_i x_i &= 0, \\ e_{11} \sum_{i=1}^n x_i y_i + e_{12} \sum_{i=1}^n y_i^2 + a \sum_{i=1}^n y_i - \sum_{i=1}^n \Delta x_i y_i &= 0, \quad \text{I группа} \\ e_{11} \sum_{i=1}^n x_i + e_{12} \sum_{i=1}^n y_i + a \cdot n - \sum_{i=1}^n \Delta x_i &= 0, \\ \dots &\dots \\ e_{21} \sum_{i=1}^n x_i^2 + e_{22} \sum_{i=1}^n x_i y_i + b \sum_{i=1}^n x_i - \sum_{i=1}^n \Delta y_i x_i &= 0, \\ e_{21} \sum_{i=1}^n x_i y_i + e_{22} \sum_{i=1}^n y_i^2 + b \sum_{i=1}^n y_i - \sum_{i=1}^n \Delta y_i y_i &= 0, \quad \text{II группа} \\ e_{21} \sum_{i=1}^n x_i + e_{22} \sum_{i=1}^n y_i + b \cdot n - \sum_{i=1}^n \Delta y_i &= 0, \end{aligned}$$

которая разделяется на две независимые группы уравнений. Решая уравнения каждой группы, можно, используя для I группы значения Δx_i , x_i , y_i , получить компоненты e_{11} и e_{12} для каждого из выделенных стационарных по дисперсиям $(\Delta x)^2$ регионов по n пунктам, входящим в соответствующий регион. Для II группы уравнений, используя Δy_i , x_i , y_i для всех n пунктов каждого отдельного региона, стационарного по дисперсиям значений Δy , можно получить компоненты e_{21} и e_{22} тензора деформаций. Искомые неизвестные получаем из решения эквивалентных систем I и II групп уравнений системы (4):

$$\begin{aligned} e_{11} \sum_{i=1}^n x_i^2 + e_{12} \sum_{i=1}^n x_i y_i + a \sum_{i=1}^n x_i - \sum_{i=1}^n \Delta x_i x_i &= 0, \quad (4) \\ e_{12} K_1 + a K_2 - K_3 &= 0, \quad \text{I группа} \\ a \left(K_4 - \frac{K_2}{K_1} \right) - \left(K_5 - K_2 \frac{K_3}{K_1} \right) &= 0, \quad \text{II группа} \end{aligned}$$

$$e_{21} \sum_{i=1}^n x_i^2 + e_{22} \sum_{i=1}^n x_i y_i + b \sum_{i=1}^n x_i - \sum_{i=1}^n \Delta y_i x_i = 0,$$

$$e_{22} K_1 + b K_2 - K_0 = 0,$$

II группа

$$b \left(K_4 - \frac{K_2}{K_1} \right) - \left(K_7 - K_2 \frac{K_6}{K_1} \right) = 0, \quad (5)$$

где

$$K_1 = \sum_{i=1}^n y_i^2 - \frac{\sum_{i=1}^n x_i y_i \cdot \sum_{i=1}^n x_i y_i}{\sum_{i=1}^n x_i^2}; \quad K_2 = \sum_{i=1}^n y_i - \frac{\sum_{i=1}^n x_i \cdot \sum_{i=1}^n x_i y_i}{\sum_{i=1}^n x_i^2};$$

$$K_3 = \sum_{i=1}^n \Delta x_i y_i - \frac{\sum_{i=1}^n \Delta x_i \cdot \sum_{i=1}^n x_i y_i}{\sum_{i=1}^n x_i^2}; \quad K_4 = n - \frac{\sum_{i=1}^n x_i \cdot \sum_{i=1}^n x_i}{\sum_{i=1}^n x_i^2};$$

$$K_5 = \sum_{i=1}^n \Delta x_i - \frac{\sum_{i=1}^n x_i \cdot \sum_{i=1}^n \Delta x_i x_i}{\sum_{i=1}^n x_i^2}; \quad K_6 = \sum_{i=1}^n \Delta y_i y_i - \frac{\sum_{i=1}^n x_i y_i \cdot \sum_{i=1}^n \Delta y_i x_i}{\sum_{i=1}^n x_i^2};$$

$$K_7 = \sum_{i=1}^n \Delta y_i - \frac{\sum_{i=1}^n x_i \cdot \sum_{i=1}^n \Delta y_i x_i}{\sum_{i=1}^n x_i^2}.$$

Определенные таким образом значения e_{11} и e_{22} постоянны для всех n пунктов в пределах каждого региона, стационарного по дисперсиям значений смещений Δx , а значения e_{21} и e_{22} соответственно постоянны для всех n пунктов каждого региона, стационарного по дисперсиям значений смещений Δy .

Таким образом, каждый из N пунктов изучаемой области получает присущие ему значения компонент e_{ij} тензора деформации, которые служат затем исходной информацией для вычисления характеристик деформации. В итоге имеем довольно простой алгоритм, легко реализуемый на ЭВМ.

Апробация изложенной методики выполнена на материалах повторных измерений в сети триангуляции I и II класса, приуроченных к землетрясению в Канто, 1923 г. (Япония). Исходной информацией служили координаты и горизонтальные смещения

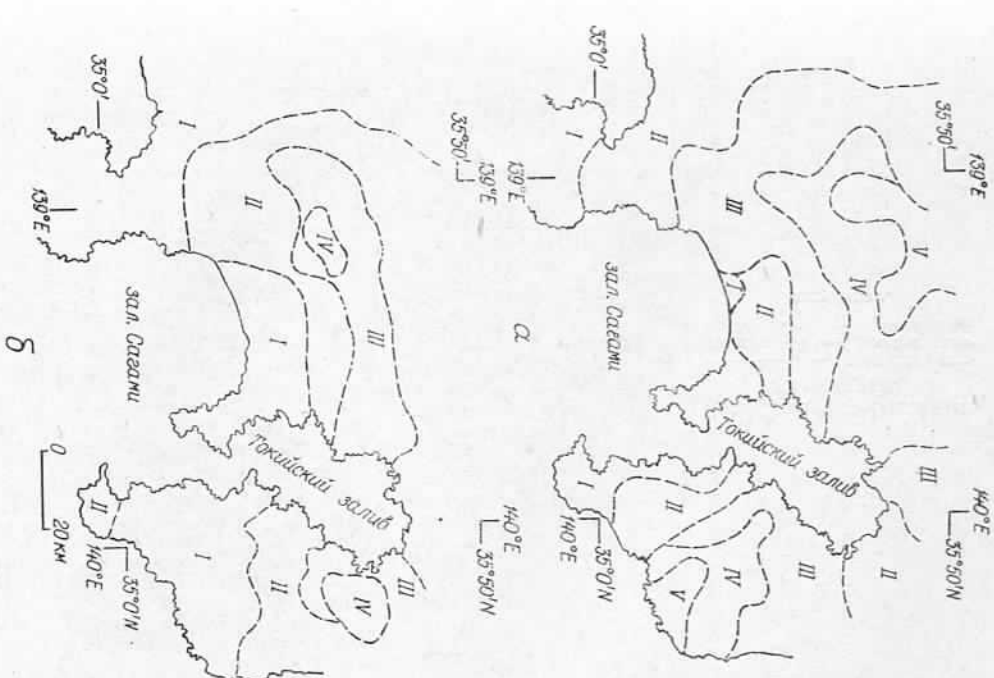


Рис. 1. Регионы, стационарные по дисперсиям значений смещений.

— — — — границы регионов; δ — номера регионов.

$N = 172$ пунктов сети [4] *. В процессе районирования предварительно был выделен тренд, в качестве которого использовалось среднее арифметическое из 172 значений смещений Δx и Δy соответственно для каждого из составляющих реализаций поля смещений. Задаваясь радиусом скольжения $R_0 = 10'$, вычисляли дисперсии $(\Delta x)^2$ и $(\Delta y)^2$ и при помощи критерия Фишера с уровнем

* В [4] координаты пунктов приведены без оценки их точности. Автор отмечает, что точность определения векторов смещений достаточна для выявления движений земной поверхности в районе. Поэтому, хотя методика предусматривает использование неравноточных измерений, мы вынуждены принять в обработку погибанные данные как равноточные.

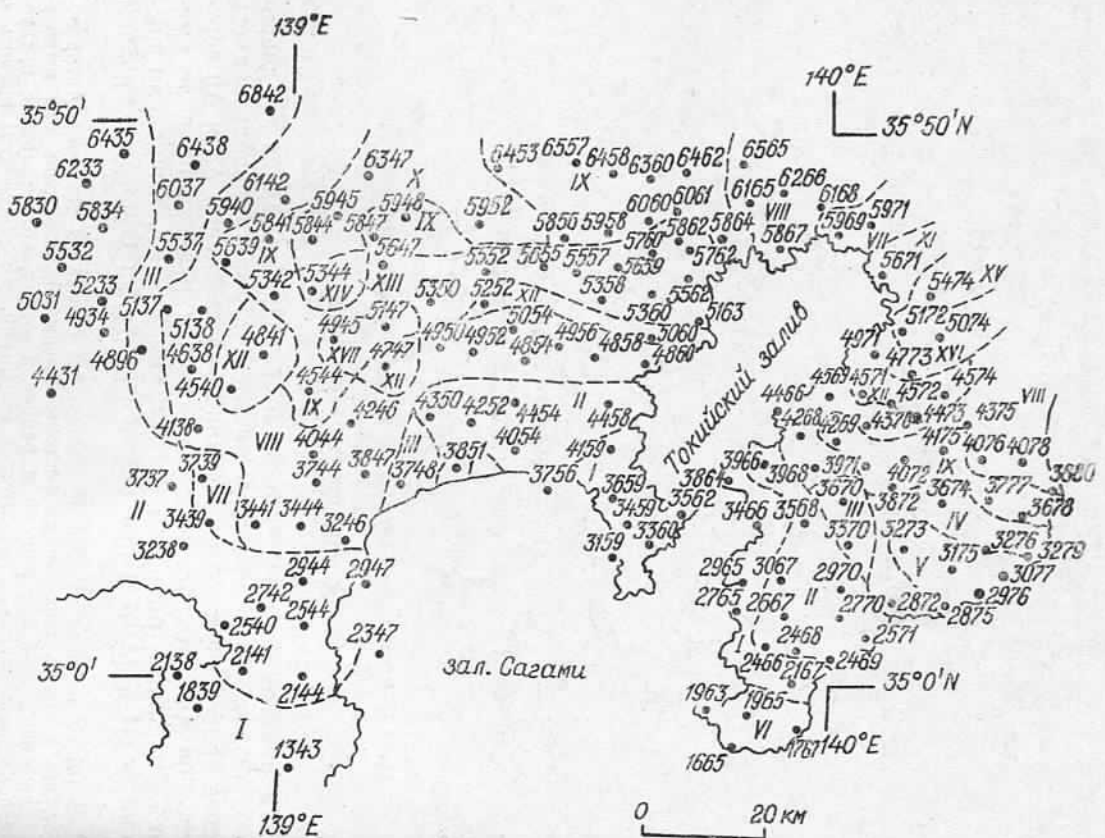


Рис. 2. Деформационные площадки.

— границы площадок; IX — номера площадок; 3847 — пункты триангуляции.

значимости 10% выделяли стационарные регионы. В результате было выделено 5 регионов, стационарных по дисперсиям значений смешений Δx (рис. 1, а), и 4 региона — по Δy (рис. 1, б). Далее по описанной выше схеме вычисляли компоненты e_{ij} тензора деформации и, как конечный результат, характеристики деформаций для каждого из 172 пунктов сети. Значения дилатации, максимального и минимального растяжений, сдвига, поворота участков, направления действия максимального растяжения (главная ось деформации) приведены в таблице. Для удобства пользова-

Значения инвариантных характеристик деформации для выделенных площадок

Дефор-мати-онные пло-щадки	Дилатация $\theta (10^{-6})$	Максималь-ный сдвиг $\gamma_m (10^{-6})$	Максималь-ное расчи-жение $E_x (10^{-6})$	Максималь-ное расчи-жение $E_y (10^{-6})$	Направле-ние действи-ния $E_{xy} \text{град.}$	Поворот площа-ди $\phi (10^{-6})$
I	-26,7	+62,7	+18,0	-44,6	+25,93	+4,0
II	+25,1	+40,2	+32,6	-7,6	-35,49	+9,6
III	+14,1	+27,3	+20,8	-6,6	-42,79	+15,0
IV	+13,4	+23,4	+18,4	-5,0	-43,30	+16,8
V	+21,9	+29,5	+25,8	-3,8	-35,20	+14,7
VI	-29,2	+54,2	+12,5	-41,7	+24,07	-0,5
VII	+22,6	+33,0	+27,8	-5,2	-30,90	+5,2
VIII	+11,6	+18,9	+15,2	-3,6	-37,95	+10,6
IX	+10,9	+15,1	+13,0	-2,0	-37,52	+12,4
X	+19,4	+22,6	+21,0	-1,6	-28,36	+10,2
XI	+19,3	+37,0	+28,1	-8,9	-29,64	+6,5
XII	+8,3	+22,4	+15,4	-7,0	-34,69	+11,9
XIII	+7,6	+18,7	+13,1	-5,6	-33,70	+13,8
XIV	+16,1	+26,7	+21,3	-5,4	-26,99	+11,6
XV	+18,2	+30,3	+24,2	-6,0	-24,31	+2,0
XVI	+7,2	+14,9	+11,0	-3,8	-26,45	+7,4
XVII	+6,5	+11,7	+9,1	-2,6	-22,33	+9,2

ния одноименные характеристики сгруппированы по принципу равенства их значений. В итоге получено 17 так называемых деформационных площадок (участки, претерпевающие деформации однородного характера). Другими словами, деформационные площадки — это зоны перекрытия выделенных стационарных по дисперсиям значений Δx и Δy регионов, для которых деформации следует считать однородными.

Получение конечного результата исследований в виде подобных площадок, в совокупности с данными геологии и тектоники, упрощает интерпретацию изучаемого явления, дает возможность судить не только о его качественной стороне, но и существенно повышает степень информативности количественной. Учет погрешностей получения исходных данных приведет к уточнению границ выделенных однородно-деформированных регионов.

Список литературы: 1. Есиков Н. П. Тектонофизические аспекты анализа современных движений земной поверхности. — Новосибирск: Наука, 1979. — 173 с. 2. Лебедев С. В., Нейман Ю. М. Методика определения корреляционной функции аномального гравитационного поля Земли для локальных участков. — Межвузовский сб. науч. тр. по геодезии, 1977, т. 1(41), с. 87—91. 3. Таде-

ев А. А., Кирчук В. В. Об определении характеристик деформаций по данным о горизонтальных движениях земной коры. — К.: 1984. — 11 с. — Рукопись № 1171 Ук-84. 4. Nakane K. Re-evaluation of Horizontal Displacements of Second Order Triangulation Stations Associated with the 1923 Kantō, Japan, Earthquake. — Jour. Geod. Soc. Japan, 1978, v. 24, № 4, p. 214—225.

Статья поступила в редакцию 26. 10. 84

УДК 528.5

А. С. КОЛОС, В. Г. ГРЕБЕНЮК

ПРИМЕНЕНИЕ МАЛОГАБАРИТНОЙ ТЕЛЕВИЗИОННОЙ УСТАНОВКИ ДЛЯ ОПРЕДЕЛЕНИЯ АНОМАЛИИ ЧАСТНОГО УГЛА ВЕРТИКАЛЬНОЙ РЕФРАКЦИИ

В статье рассмотрена возможность определения аномалии частного угла вертикальной рефракции по колебаниям изображения, определенным с помощью телевизионной установки. Значение частного угла вертикальной рефракции можно определять по колебаниям изображений визирной цели, используя формулу (1)

$$\rho = \rho_a + 0,035 \sigma \cdot L^{1/2} \cdot h_g^{-1/2} D^{1/6}, \quad (1)$$

где ρ_a — угол рефракции при пейтальной стратификации; σ — максимальная амплитуда колебаний изображения за период; D — диаметр объектива теодолита; L — длина визирного луча; h_g — эквивалентная высота луча.

При использовании объектива от теодолита ОТ-02, диаметр которого $D=6$ см, можно записать:

$$\rho = \rho_a + 0,047 \sigma \cdot L^{1/2} h_g^{-1/2}. \quad (2)$$

Как видно из (1) и (2), для определения частного угла вертикальной рефракции необходимо с высокой точностью найти максимальную амплитуду колебаний изображения за период. Период колебаний в среднем составляет $10 \dots 20$ с [2].

Для определения амплитуды колебаний пами была применена малогабаритная телевизионная установка «Электроника-801», состоящая из телевизионной камеры, камерного блока и блока питания. Питание этой установки можно осуществлять от аккумуляторной батареи напряжением 12 В, что позволяет использовать ее в полевых условиях.

Для определения максимальной амплитуды колебаний изображения визирной цели, которой служила специальная марка, через зрительную трубу теодолита ОТ-02 проектировалось на фотокатод визирона телевизионной камеры, на который фотографическим способом была нанесена специальная отсчетная сетка в виде горизонтальных линий с ценой деления 0,05 мм.

Изображение визирной цели вместе с изображением отсчетной сетки рассматривали на экране воспроизводящего устройства, которое служила специально разработанная [3] электронно-лучевая трубка с повышенной разрешающей способностью — 350 линий в центре. В качестве видеоконтрольного устройства использовали малогабаритный телевизор «Электроника-Карпаты». Точность отсчета на экране при визуальной индикации составляла 0,25 мм (расстояние между изображением штрихов сетки на экране равнялось 0,5 мм).

Недостатком прямой визуальной индикации отсчетов, особенно при большой частоте колебания изображения, является инерционность зрения, не позволяющая произвести точного отсчета из-за кратковременности одного колебания.

Для улучшения индикации и повышения достоверности измерений использовано такое важное достоинство телевидения, как фиксация видимого изображения объекта (марки), его состояния в данный момент (запись на видеомагнитофон). Изображения визирной цели записывали на протяжении 30 с на видеомагнитофон «Электроника Л-108». Этот видеомагнитофон позволяет производить остановку изображения на экране видеоконтрольного устройства при воспроизведении записи.

При воспроизведении на экране электронно-лучевой трубы видеоконтрольного устройства записанного изображения визирной цели через каждые 2 с производилась его остановка и определялось положение относительно вертикальных штрихов координатной сетки, положение которой оставалось неизменным. По смещению относительно сетки изображений определяли амплитуду колебаний изображения.

Для повышения точности отсчета использовали отсчетный микроскоп МПБ-2 с ценой деления 0,05 мм.

Определение амплитуды колебаний изображения при помощи телевизионной установки проводили летом 1984 г. в течение 10 дней по 5...8 ч в день на учебном геодезическом полигоне Направления для исследований были выбраны на северной окраине и расположены на высоком (до 35 м) берегу реки. Экспериментальные наблюдения выполнялись по трассам длиной 30, 40, 50, 60, 150, 230 и 300 м, которые проходили по дороге, расположенной параллельно речной долине и имеющей меридиональное направление. Средние высоты визирных лучей были соответственно равны 1,00, 1,25 и 1,50 м. Исследования были выполнены при различных погодных и температурных условиях.

Для сравнения проводились одновременные измерения амплитуды колебаний теодолитом ОТ-02 по методике, описанной в [2]. Колебания верхнего среза марки отсчитывались в десятых долях ширин горизонтального биссектора в течение 30 с. При этом по возможности брали максимальные отклонения и амплитуду определяли как разницу между максимальными верхним и нижним отклонениями.

В табл. 1 приведены усредненные результаты значений максимальных амплитуд колебаний изображения визирной марки в зависимости от времени суток.